

Fe-PB

VI 1571

1936

van Arkel, Verwey, and van Bruggen.

1. Rec. tac. chim. 55, 331 (1936)

Fe<sub>2</sub>O<sub>3</sub>•PbO; Fe<sub>2</sub>O<sub>3</sub>•MnO

Fe<sub>2</sub>O<sub>3</sub>•ZnO, Fe<sub>2</sub>O<sub>3</sub>•CdO; Fe<sub>2</sub>O<sub>3</sub>•CuO

Fe<sub>2</sub>O<sub>3</sub>•NiO<sub>3</sub>; Fe<sub>2</sub>O<sub>3</sub>•CoO

Circ, 500

5

1953

VI-1573

Pb<sub>2</sub>/Fe(CN)<sub>6</sub>/•3H<sub>2</sub>O (Π<sub>p</sub>)

Bovalini E., Casini A.

Ann.chimil, 1953, 43, N12, 790-94.

Determinatione del prodotto di  
solubilita del ferrocianuro di piombo.

Est/F.

RX., 1954, N23, 49495 Ja

Есть ф.к.

$\text{Fe}(\text{CN})_6$

1964

21 Б389. Свободные энергии ферроцианидов некоторых тяжелых металлов. Rock Peter A., Powell Richard E. Free energies of some heavy-metal ferrocyanides. «Inorgan. Chem.», 1964, 3, № 11, 1593—1597 (англ.)

Определены дебаеграммы кристаллич. форм  $\text{Cu}_2\text{Fe}(\text{CN})_6 \cdot 9\text{H}_2\text{O}$  (I),  $\text{Cu}_2^{1+}\text{Cu}^{2+}\text{Fe}(\text{CN})_6 \cdot x\text{H}_2\text{O}$  (II),  $\text{K}_2\text{CdFe}(\text{CN})_6 \cdot x\text{H}_2\text{O}$  (III),  $\text{K}_2\text{Cu}_2\text{Fe}(\text{CN})_6 \cdot x\text{H}_2\text{O}$  (IV),  $[(\text{C}_2\text{H}_5)_4\text{N}]_2\text{Cd}_3[\text{Fe}(\text{CN})_6]_2$  (V),  $\text{Cd}_2\text{Fe}(\text{CN})_6 \cdot 7\text{H}_2\text{O}$  (VI),  $\text{Ag}_4\text{Fe}(\text{CN})_6 \cdot \text{H}_2\text{O}$  (VII),  $\text{Pb}_2\text{Fe}(\text{CN})_6 \cdot 3\text{H}_2\text{O}$  (VIII),  $\text{Zn}_2\text{Fe}(\text{CN})_6 \cdot 2\text{H}_2\text{O}$  (IX) и  $\text{K}_2\text{Zn}_3[\text{Fe}(\text{CN})_6]_2 \cdot 8\text{H}_2\text{O}$  (X). I — коричневого цвета, II — пурпурного, III — бледно-желтый, IV—X — бесцветны. I, VI и IX синтезированы введением р-ра  $\text{H}_4\text{Fe}(\text{CN})_6$ , полученного пропусканием 0,5 M  $\text{K}_4\text{Fe}(\text{CN})_6$  (XI) через колонку с Н-катионитом Дауэкс AG-50W-X8 в 0,8 M р-р ацетата соответствующего металла, размешиванием в течение 1 часа при комнатной т-ре и промыванием осадка водой. VII и VIII получены смешением р-ров солей. IV и X осаждены прибавлением почти насыщенного р-ра XI к равному объе-

$\Delta G_f$

БР-1-157

+3



Х. 1965. 21

му  $\sim 0,01 M$  р-ра сульфата, почти насыщенного  $KNO_3$ .  
**IV** осажден избытком **XI** из восстановленного сульфатом гидроксиамина р-ра аммиаката  $CuSO_4$ ; при недостатке **XI** осаждается бледно-зеленый осадок (возможно,  $[Cu(NH_3)_2]_4Fe(CN)_6$ ), превращающийся при действии разб.  $H_2SO_4$  в белый  $Cu_4Fe(CN)_6$ . Из результатов измерений э. д. с. соответствующих эл. срохим. цепей без переноса при  $25^\circ$  вычислены следующие значения произведений растворимости ферроцианидов, стандартные свободные энергии ( $\Delta F^\circ$ , в ккал) образования осадков ферроцианидов из водн. ионов (с активностью  $a = 1,0$ ) и  $\Delta F^\circ$  образования их из элементов:  $Pb_2Fe(CN)_6$   $9,6 \cdot 10^{-19}$ ,  $-24,58$  и  $134,2$ ;  $Ag_4Fe(CN)_6$   $8,6 \cdot 10^{-45}$ ,  $-60,11$  и  $184,0$ ;  $Cd_2Fe(CN)_6$   $4,2 \cdot 10^{-18}$ ,  $-23,70$  и  $109,5$ ;  $K_2CdFe(CN)_6$   $8,1 \cdot 10^{-18}$ ,  $-23,32$  и  $-6,4$ ;  $Zn_2Fe(CN)_6$   $2,1 \cdot 10^{-16}$ ,  $-21,40$  и  $78,6$ ;  $KZn_{1,5}Fe(CN)_6$   $8,2 \cdot 10^{-22}$ ,  $-28,77$  и  $21,4$ ;  $K_2Cu_2Fe(CN)_6$   $2,2 \cdot 10^{-27}$ ,  $-36,36$  и  $23,1$ .

И. Рысс

бров  
Аи

Pb<sub>2</sub>Fe(CN)<sub>6</sub>

1964

Free energies of some heavy-metal ferrocyanides. Peter A. Rock and Richard E. Powell (Univ. of California, Berkeley). *Inorg. Chem.* 3(11), 1593-7(1964). The free energies of formation (kcal.) of the following ferrocyanides from their ions at 25° were detd. by e.m.f. measurement by using cells without liquid junctions: Pb<sub>2</sub>Fe(CN)<sub>6</sub>, -24.58; Ag<sub>2</sub>Fe(CN)<sub>6</sub>, -60.11; Cd<sub>2</sub>Fe(CN)<sub>6</sub>, -23.70; K<sub>2</sub>CdFe(CN)<sub>6</sub>, -23.32; Zn<sub>2</sub>Fe(CN)<sub>6</sub>, -21.40; KZn<sub>1.5</sub>Fe(CN)<sub>6</sub>, -28.77; K<sub>2</sub>Cu<sub>2</sub>Fe(CN)<sub>6</sub>, -36.36; i.e., the reported free energy changes refer, e.g., to the reaction  $2K^+(aq, a = 1) + Cd^{2+}(aq, a = 1) + Fe(CN)_6^{4-}(aq, a = 1) = K_2CdFe(CN)_6(s)$ . X-ray diffraction data, taken from powder patterns run on analyzed samples for several metal ferrocyanide salts are reported.

RCHH

C.R. 1964. 61:13

15490h



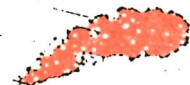
+3



B90-11-15712

- $\text{Pb}_2\text{Fe}(\text{CN})_6$  Rock P. A. Belluno 1965  
 $\text{Cd}_2\text{Fe}(\text{CN})_6$ , Diss. Absts, 1965, 25, N10, 5590  
 $\text{K}_2\text{CdFe}(\text{CN})_6$ ,  
 $\text{Zn}_2\text{Fe}(\text{CN})_6$ , Хорошие энергии ферроциани-  
 $\text{K}_2\text{Zn}_3[\text{Fe}(\text{CN})_6]_2$ , раб Термодин. металлов.  
 $\text{Ag}_4\text{Fe}(\text{CN})_6$ ,  
 $\text{K}_2\text{Cu}_2\text{Fe}(\text{CN})_6$ , Их измерения E. g. C. Haugenst  
 $(\Delta \varphi^\circ_{298})$   $\Delta \varphi^\circ_{298}$ :  $\text{Pb}_2\text{Fe}(\text{CN})_6$  134,2;  
X  $\text{Cd}_2\text{Fe}(\text{CN})_6$  109,5;  $\text{K}_2\text{CdFe}(\text{CN})_6$  - 6,4;  
 № 95.  $\text{Zn}_2\text{Fe}(\text{CN})_6$  78,6;  $\text{K}_2\text{Zn}_3[\text{Fe}(\text{CN})_6]_2$  42,8;

$\text{Ag}_4\text{Fe}(\text{CN})_6$  184,0;  $\text{K}_2\text{Cu}_2\text{Fe}(\text{CN})_6$  23,1



$Pb_3[Fe(CN)_6]_2$  Сейфер Г.Б.,  
Макарова З.А. 1965

ИЧХ,  
мер.мк.  
10, 'N5, 1022  
—, —

{Cu.  $Ag_3[Fe(CN)_6]_2\}$ } I

Fe<sub>2</sub>O<sub>3</sub> - PbO

1966

The equilibrium diagram  $\alpha\text{-Fe}_2\text{O}_3\text{-PbO}$ . Jeannine Casse-danne (Univ. Recife). *Anais Acad. Brasil. Cienc.* 36(4), 417-22(1964)(Fr). Mixts. of Fe<sub>2</sub>O<sub>3</sub> and PbO were coptd. and heated for the following periods at the following temps. and then quenched in air: 24 hrs. at 470, 670, and 800°; 3 hrs. at 1000, 1100, and 1200°; 30 min. at 1400°; 15 min. at 1500°. The binary diagram  $\alpha\text{-Fe}_2\text{O}_3\text{-PbO}$  was established. X-ray spectro-photographs showed the following zones: at 0-25 mole % PbO a zone extending from 0 to 20 mole % PbO at 1170° but narrower at lower temps. and consisting of a solid soln. of type  $\alpha\text{-Fe}_2\text{O}_3$ , and another zone consisting of a mixt. of the solid soln. of type  $\alpha\text{-Fe}_2\text{O}_3$  and the compd. 3Fe<sub>2</sub>O<sub>3</sub>.PbO; at 25-75 mole % PbO successively a vast zone of solid soln. of type 3Fe<sub>2</sub>O<sub>3</sub>.PbO extending up to approx. 56 mole % PbO, a mixt. of solid solns. of type 3Fe<sub>2</sub>O<sub>3</sub>.PbO and Fe<sub>2</sub>O<sub>3</sub>.3PbO, a small zone of solid soln. of

CA 1966, 642  
14054, g, h, a

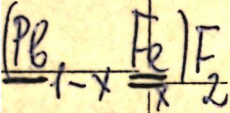
o Sr

type  $\text{Fe}_2\text{O}_3 \cdot 3\text{PbO}$ , and finally the compd.  $\text{Fe}_2\text{O}_3 \cdot 3\text{PbO}$ ; at 75–88.9 mole % PbO a mixt. of the compds.  $\text{Fe}_2\text{O}_3 \cdot 3\text{PbO}$  and  $\text{Fe}_2\text{O}_3 \cdot 8\text{PbO}$ ; at 88.9–100 mole % PbO a mixt. of  $\text{Fe}_2\text{O}_3 \cdot 8\text{PbO}$  and PbO, and a eutectic plateau at  $690^\circ$ . The eutectic is between 90 and 95 mole % PbO. The crystallographic consts. of  $3\text{Fe}_2\text{O}_3 \cdot \text{PbO}$ , which is magnetic, are given. Comparison of the crystallographic data, compn., magnetic properties, and d. of  $3\text{Fe}_2\text{O}_3 \cdot \text{PbO}$  with those of natural magnetoplumbite and plumboferrite indicates that the pure, synthetic product is  $3\text{Fe}_2\text{O}_3 \cdot \text{PbO}$  and that the natural products are its derivs. The compd.  $3\text{Fe}_2\text{O}_3 \cdot \text{PbO}$  m.  $1170^\circ$  incongruently, the decompr. line extending from 20 to 68 mole % PbO. Above this line liquid exists, and towards  $1300^\circ$   $\text{Fe}_3\text{O}_4$  forms in the zone rich in  $\text{Fe}_2\text{O}_3$ . The  $\text{Fe}_3\text{O}_4$  zone corresponds to a portion of the ternary diagram  $\text{Fe}_2\text{O}_3 \text{- } \text{Fe}_3\text{O}_4 \text{- }$

PbO. The crystallographic consts. of  $\text{Fe}_2\text{O}_3 \cdot 3\text{PbO}$  and  $\text{Fe}_2\text{O}_3 \cdot 8\text{PbO}$  are given. The former m.  $850^\circ$  (approx.) incongruently, the decompr. line extending from 72 to 81 mole % PbO, and the latter m.  $740^\circ$  (approx.), the decompr. line extending from 75 to 88.9 mole % PbO. The x-ray diagrams of mixts. heated below  $500^\circ$  showed the presence of  $\text{Pb}_3\text{O}_4$  and 2 compds. of  $\text{Pb}_3\text{O}_4$  and  $\text{Fe}_2\text{O}_3$ , which were not definitely identified. B. K. S. Nair

VI-7097

1970



13 Б972. Система  $PbF_2$ — $FeF_3$ . Ravez Jean, Duda  
le Monique. Le système  $PbF_2$ — $FeF_3$ . «С. г. Acad. sci.»,  
1970, C270, № 1, 56—58 (франц.)

Система  $PbF_2$ — $FeF_3$  изучена с помощью рентгеновского метода и ДТА. Образцы изготовлены спеканием смесей исходных компонентов в герметизированной Аи-трубке при  $500^\circ$ , с послед. закалкой с т-р  $450$ — $700^\circ$ . Установлено образование в системе двух соединений с общей ф-лой  $(Pb_{1-x}Fe_x)F_2$ :  $\alpha$ -фазы, тв. р-ра на основе  $\beta$ - $PbF_2$ , устойчивого в интервале  $0 < x < 0,17$  (для  $500^\circ$ ) и имеющего кубич. решетку с  $a = 5,840\text{ \AA}$  при  $x = 0,17$  и  $\beta$ -фазы, устойчивой в узком интервале составов  $0,26 < x < 0,27$  (при  $500^\circ$ ), плавящейся при  $543^\circ$ . Параметры ромбич. решетки  $\beta$ -фазы  $a = 5,98$ ;  $b = 5,72$ ;  $c = 5,576\text{ \AA}$ . Фаза  $Pb_3(FeF_6)_2$  имеет т. пл.  $569^\circ$  и характеризуется тетрагон. структурой, изотипной  $Va_3(FeF_6)_2$  с параметрами решетки  $a = 14,449$ ;  $c = 7,441\text{ \AA}$ .

Л. В. Шведов

Х. 1970, 13

Pb<sub>3</sub>(FeF<sub>6</sub>)<sub>2</sub>

VI-9097

1970

- 104942m Lead difluoride-iron trifluoride system. Ravez,  
Jean; Duale, Monique (Serv. Chim. Miner. Struct., Fac.  
Sci. Bordeaux, Talence, Fr.). *C. R. Acad. Sci., Ser. C* 1970,  
270(1), 56-8 (Fr). A study of the (Pb<sub>1-x</sub>Fe<sub>x</sub>)F<sub>2+x</sub> system at  
500° revealed 3 new phases: a cubic  $\alpha$ -phase derived from the  
 $\beta$ -PbF<sub>2</sub> phase at  $0 \leq x \leq 0.17$  with  $a = 5.944$  to  $5.840$  Å, resp.;  
an orthorhombic  $\beta$ -phase, corresponding to a distortion of the  
cubic lattice of fluorite, at  $0.26 \leq x \leq 0.27$ , with  $a = 5.98$ ,  $b$   
 $= 5.72$ , and  $c = 5.576$  Å for  $x = 0.27$ , with exptl. d. = 7.21,  
 $Z = 4$ , calcd. d. = 7.298, m.p. 543°; and a tetragonal Pb<sub>1-x</sub>  
(FeF<sub>6</sub>)<sub>2</sub> phase (isotypic with Ba<sub>3</sub>(FeF<sub>6</sub>)<sub>2</sub>, m. 569°, with  $a =$   
 $14.449$ ,  $c = 7.441$  Å, space group  $I4$ ,  $I\bar{4}$ , or  $I4/m$ , exptl. d. =  
6.18, 6 Pb<sub>1-x</sub>(FeF<sub>6</sub>)<sub>2</sub> per unit cell, and calcd. d. = 6.167. DWJF

C.A. 1970. 72.20

PfFeCl<sub>3</sub> Герасимова Б.С  
и Ф.Г. 1973

" Паг. 8 км. Узделхорсун. бассейн  
Озера и моря. Заветново. 4, 14

DH, Tm Ольгинская, 1973, 98-101.

(an FeCl<sub>2</sub>) I

$2\text{PbO} \cdot \text{Fe}_2\text{O}_3$

$\text{PbO} \cdot 6\text{Fe}_2\text{O}_3$

1982

10 Б938. Фазовая диаграмма системы  $\text{PbO}-\text{Fe}_2\text{O}_3$ .  
 Konstrukce fázového diagramu binárního systému  $\text{PbO}-\text{Fe}_2\text{O}_3$  na základě literárních údajů a výsledků DTA. Nevřiva M., Kuzmíčová E., Fischer K. «TERMANAL'82: 9 Celostát. konf. term. anal., Vysoké Tatry, 5—8 okt., 1982». Bratislava, 1982, 185—186 (чеш.; рез. англ.)

С целью выращивания монокрист. фаз  $2\text{PbO} \cdot \text{Fe}_2\text{O}_3$  и  $\text{PbO} \cdot 6\text{Fe}_2\text{O}_3$  из расплава  $\text{PbO}$  изучена область системы  $\text{PbO}-\text{Fe}_2\text{O}_3$ , более богатая  $\text{PbO}$ . Для определения эвтектик и кривых ликвидуса до т-ры  $1300^\circ$  использован метод ДТА. Т-рные интервалы стабильности фаз определены РФА. Результаты представлены на фазовой диаграмме.

А. А. Захаров

Х. 1983, 19, N 10

$\text{Pb}_2\text{Fe}_2\text{O}_3$

Om. 16832

1983

Aurivillius B.,

Erucman.  
CNPVKS.

Acta chem. scand.,  
1983, A37, N2,  
159-160.

$\text{FeCl}_2 - \text{PbCl}_2$  1983

Быстров Б. Н.

P, T<sub>B</sub>, H.C. Руз. Химии, 1983,  
1 Hv. 57, N2, 323-325.

(авт.  $\text{FeCl}_2 - \text{CdCl}_2$  ?)

PbFe<sub>2</sub>

1976

(Cp)

85: 86083u Specific heats of paraelectrics, ferroelectrics, and antiferroelectrics at low temperatures. Lawless, W. N. (Res. Lab., Corning Glass Works, Corning, N.Y.). *Phys. Rev. B* 1976, 14(1), 134-43 (Eng). Measurements of low-temp. specific heats (2-37°K) are reported on some common paraelectcs. (thallous halides, PbFe<sub>2</sub>, KTaO<sub>3</sub>), ferroelectcs. [BaTiO<sub>3</sub>, KH<sub>2</sub>PO<sub>4</sub>, triglycine sulfate, LiNbO<sub>3</sub>, LiTaO<sub>3</sub>, Pb(Zr<sub>0.65</sub>Ti<sub>0.35</sub>)O<sub>3</sub>], and antiferroelectcs. [Pb(Zr<sub>0.95</sub>Ti<sub>0.05</sub>)O<sub>3</sub> and Pb<sub>2</sub>Nb<sub>2</sub>O<sub>7</sub>]. All materials display maxima in  $C\Gamma^{-3}$ , and excellent fits to exptl. data are obtained with single Einstein frequencies. The Einstein frequencies vary from 19 cm<sup>-1</sup> for TlCl to 99 cm<sup>-1</sup> for BaTiO<sub>3</sub>. The frequencies in LiNbO<sub>3</sub> (79 cm<sup>-1</sup>) and LiTaO<sub>3</sub> (61 cm<sup>-1</sup>) agree reasonably well with earlier Raman data at 300°K on E-symmetry optic modes and with recent low-temp. pyroelec. data. The TlBr frequency (22 cm<sup>-1</sup>) agrees well with the lowest phonon anomaly

⑥



C.A. 1976 85N12

detd. from neutron data; and the  $\text{KTaO}_3$  frequency ( $26 \text{ cm}^{-1}$ ) agrees well with the av. soft-mode frequency in this temp. range. No evidence is seen for the suggested phase transition in  $\text{KTaO}_3$  at  $10^\circ\text{K}$ . The Pb titanate zirconate materials, which are compositionally in a field inaccessible to powder Raman methods, have frequencies of  $32 [\text{Pb}(\text{Zr}_{0.65}\text{Ti}_{0.35})\text{O}_3]$  and  $38 \text{ cm}^{-1} [\text{Pb}(\text{Zr}_{0.95}\text{Ti}_{0.05})\text{O}_3]$ , due probably to low-lying transverse acoustic phonons. An unusual  $T^{3/2}$  contribution to the sp. heat of the ferroelectrics, triglycine sulfate,  $\text{KH}_2\text{PO}_4$ ,  $\text{BaTiO}_3$ , and  $\text{LiNbO}_3$  was found at the lowest temps. Exptl. data are in excellent agreement with  $C = AT^3 + BT^{3/2}$ , and it is suggested that the  $T^{3/2}$  term is the domain-wall contribution.

$Pb_2Fe_2O_5$

1977

89: 15834m Physical characterization of the lead ferrite  $Pb_2Fe_2O_5$ . Grenier, Jean Claude; Pouchard, Michel; Hagenmuller, Paul (CNRS, Univ. Bordeaux I, Talence, Fr.). *Rev. Chim. Miner.* 1977, 14(6), 515-22 (Fr). The ferrite  $Pb_2Fe_2O_5$  was prepd. by heating coptd. Pb and Fe(III) hydroxides. The ferrite is antiferromagnetic with a Neel temp. of ~555 K. The IR and Moessbauer resonance spectra are similar to those of  $Ca_2Fe_2O_5$  which suggested structural similarity between the 2 ferrites. When  $Ca^{2+}$  is replaced by Pb, the Fe-O bond in the  $(FeO_4)^{5-}$  tetrahedra are weakened. A crystallog. structure model is suggested.

(Tweel)

C.A. 1978, 89, 12

Pb<sub>5</sub>-Fe<sub>3</sub>O<sub>11</sub>

1977

88: 113442f The crystallization of vitreous and metastable lead germanate (Pb<sub>5</sub>Ge<sub>3</sub>O<sub>11</sub>). Nassau, K.; Shiever, J. W.; Joy, D. C.; Glass, A. M. (Bell Lab., Murray Hill, N. J.). *J. Cryst. Growth* 1977, 42, 574-8 (Eng). Vitreous Pb<sub>5</sub>Fe<sub>3</sub>O<sub>11</sub> was prep'd. by water and roller quenching. The crystn. was studied by DTA, x-ray diffraction, and transmission electron microscopy. After a glass transition at 325°, metastable Pb<sub>5</sub>Fe<sub>3</sub>O<sub>11</sub> crystd. exothermically at 370°. This was subsequently followed by the formation of the stable phase of the same compn., again exothermically at 490°.

Ttr

C.A. 1978, 82, 4116

1978

 $2PbO \cdot Fe_2O_3$ 

2 Б868 Получение и характеристика ферритов свинца. Mехтайн J., Hivert S.-L. Preparation et caractérisation de ferrites of plomb. «Ann. chim.» (France); 1978, 3, № 2, 91—97 (франц.; рез. англ.)

С помощью ТГА, ДТА, дифрактометрии, денситометрии и магнитных измерений исследовано взаимодействие в системе  $Fe_2O_3$  (I) — PbO (II). Исходные а-I и в-II измельчали, смешивали и нагревали на воздухе. Обнаружена эвтектика в системе при мол. соотношении I:II=1:7 и т. пл. 780°, что противоречит лит. данным. Установлено, образование ферритов: 2 II·I; а 7,80; с 15,82 Å; ρ (изм.) 8,41; т. пл. 877° (конгруэнтно); 3 II·I; гексагон.; а 5,91; с 23,52 Å; ρ (изм.) 6,12; т. разл. 911°; 6 II·I; гексагон., а 5,88; с 23,02 Å; т. разл. 1075°. Два последних феррита — ферромагнетики с т-рой Кюри 450—460°.

Л. Г. Титов

(T<sub>m</sub>)

Х. 1979 № 2

PbFe<sub>2</sub>

1979

90: 195811d Neutron scattering studies of acoustic phonon modes in lead fluoride up to high temperatures. Dickens, M. H.; Hayes, W.; Hutchings, M. T.; Kleppmann, W. G. (Clarendon Lab., Univ. Oxford, Oxford, Engl.). *J. Phys. C* 1979, 12(1), 17-25 (Eng). The energies and linewidths of the long-wavelength acoustic phonons in PbF<sub>2</sub> at 10-898 K, detd. by D. and H. (1978) using neutron scattering, were interpreted by using theor. expressions for the effects of anharmonicity, the hopping motion of the anions, and the time-averaged defect structure. The elastic consts. decrease linearly with temp. as the superionic transition temp. ( $T_c \sim 700$  K) is approached and more rapidly so near  $T_c$ . At  $>570$  K, the linewidths of the transverse acoustic phonons increase as the square of the phonon wavevector. The widths are linear with temp. below  $T_c$  but increase rapidly near  $T_c$ . The low-temp. behavior is due to anharmonicity whereas the rapid change in linewidth near  $T_c$  is due to defects in the lattice. The contribution of anion hopping to the linewidth is small.

(Tr)

C.A. 1949, 99 N 24

PbFeF<sub>3</sub>

1949

17 Б646. Магнитные свойства перовскитного соединения PbFeF<sub>3</sub>. Ito A., Someya Y., Mogimoto S. Magnetic properties of the perovskite compound RbFeF<sub>3</sub>. «IEEE J. Quant. Electron.», 1979, 15, № 2, 264—266 (англ.; рез. франц.)

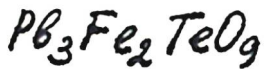
(T<sub>2</sub>)

Методом мессбауэровской спектроскопии <sup>57</sup>Fe в широком интервале т-р и напряженностей внешнего магнитного поля исследованы магнитные св-ва кубич. перовскита PbFeF<sub>3</sub> (I), к-рый при т-рах  $T_N = 100,5^\circ\text{K}$ ,  $T_2 = 2^\circ\text{K}$  и  $T_1 = 40^\circ\text{K}$  испытывает магнитные и структурные превращения. Установлено, что при  $T_2 < T < T_1$  спектр представляет собой суперпозицию двух сверхтонких структур, обусловленных наличием двух типов неэквивалентных ионов Fe<sup>2+</sup>. На основании анализа зависимости параметров спектра от магнитного поля найдено, что слабый ферромагнетизм I в этом интервале т-р связан с ферримагнитным упорядочением спинов в направлении [100]. При  $T < T_1$  спектр состоит из шести слегка уширенных линий, что может быть обусловлено

2.1949 N17

и проявлено неэквивалентностью ионов  $\text{Fe}^{2+}$ . Исследование спектров во внешних магнитных полях позволило сделать вывод, что в этой области спины в I ориентированы вдоль оси [110], а небольшая спонтанная намагниченность связана с неколлинеарностью спиновой структуры. По величине расщепления основного состояния найдена т-риая зависимость сверхтонкого поля  $H_{hf}$ . Поскольку величина  $H_{hf}$  в отличие от сверхтонких расщеплений в точках  $T=T_1, T_2$  не испытывает резких изменений, скачки в значениях расщеплений отнесены к изменению величины  $e^2qQ$  и связи между направлением  $H_{hf}$  и главной оси градиента электрич. поля.

Ю. В. Ракитин



1979

Посуцкова Э.Р., Веселовская Ю.Н.

Taurie Изв. Акад. Наук СССР.,  
Корпрац. химер., 1979,  
15(2), 317-19.



Кис.  $\text{Pb}_3\text{Sc}_2\text{TeO}_9$

) I

1979

8 Б789. Методика определения свободной энергии образования ферритов свинца. Устинов А. К., Быков В. Н. «Физ.-энерг. ин-т, Обнинск. (Препр.)», 1979, № 963, 12 с., ил.

Предложенна конструкция электрохим. ячейки с тв.

*Tr, 16*

окисным электролитом и методика определения свободной энергии образования ферритов свинца на примере соединения  $\text{PbO} \cdot 6\text{Fe}_2\text{O}_3$ . Установлено, что т-рная зависимость э. д. с. ячейки  $\text{Mo}|\text{Pb}, \text{Fe}_2\text{O}_3, \text{PbO} \cdot 6\text{Fe}_2\text{O}_3||\text{ZrO}_2 + 0,15\text{Y}_2\text{O}_3|\text{Pb}$ ,  $\text{PbO}|\text{Mo}$  имеет перехода при т-ре 827°, связанный с обратимым превращением плюмбоферрита. На основании полученных значений э. д. с. вычислено изменение свободной энергии р-ции образования  $\text{PbO} \cdot 6\text{Fe}_2\text{O}_3$  из окислов  $\Delta G = 29\ 000 (\pm 3000) - 37,49 (\pm 2,67)T\ (^{\circ}\text{K}) \pm \sqrt{14\ 554 + 7,16(T - 1123)^2}$  кал/моль для т-рного интервала 1063—1173° К. Ав реф

X. 1980 N 8

Pb<sub>4</sub>Fe<sub>3</sub>O<sub>8</sub>Cl

1981

1 E326. Pb<sub>4</sub>Fe<sub>3</sub>O<sub>8</sub>Cl: синтез, структура и тепловое расширение. Pb<sub>4</sub>Fe<sub>3</sub>O<sub>8</sub>Cl: synthesis, crystal structure, and thermal expansion. Pannetier J., Batail P. «J. Solid State Chem.», 1981, 39, № 1, 15—21 (англ.)

синтез,  
структур,  
тепловое  
расширение

Структура соединений Pb<sub>4</sub>Fe<sub>3</sub>O<sub>8</sub>X (X=Cl или Br), полученных при реакции в твердом состоянии, определена по рентгеновским данным. Кристаллы образуют структуру (*P4/mmm*) со слоями Pb<sub>4</sub>Fe<sub>3</sub>O<sub>8</sub> и Cl незавершенного перовскитного типа. Исследование теплового расширения от 25 до 500°С показывает отсутствие фазовых переходов, аномалий и значительной анизотропии в коэф. теплового расширения. Библ. 20.

А. П. Рыженков

φ 1982, 18, N1.

1897

V 852.

Lobnier

Ann. Chim. Phys., 1897, 12, 374

 $ZnJ_2 \cdot eq$  $2ZnJ_2 \cdot PbJ_2$  $2CdJ_2 \cdot PbJ_2$  $2HgJ_2 \cdot PbJ_2$ 

DHF

 $2HgJ_2 \cdot PbJ_2$  $2HgJ_2 \cdot PbJ_2 \cdot SH_2$  $COJ_2 \cdot HgJ_2$ 

DHF

HgJ

EOTB	θ, K.
0.144	100

HgJ

P

$\text{CdJ}_2 \cdot \text{PbJ}_2$ ,  $\text{MnJ}_2$ ,  $\text{PbJ}_2 \cdot 3\text{H}_2\text{O}$ ,  $\text{CeJ}_2$ ,

$2\text{CeJ}_2 \cdot \text{PbJ}_2$ ,  $2\text{CeJ}_2 \cdot \text{PbJ}_2 \cdot 3\text{H}_2\text{O}$  (A II).

Fe - Pb - V

VI-4273

1964

Система

из

одинаков

13 Б646. Изучение диаграммы равновесия  $\alpha\text{-Fe}_2\text{O}_3$ — $\text{PbO}$ . Cassé danne Jeannine. Étude du diagramme d'équilibre  $\text{Fe}_2\text{O}_3$ — $\alpha\text{PbO}$ . «An. Acad. brasil. ciênc.», 1964, 36, № 4, 417—422 (франц.; рез. порт.)

Методом закалки с т-р 470—1500° во всем интервале составов изучена система  $\alpha\text{-Fe}_2\text{O}_3$ — $\text{PbO}$ . Образцы готовились из исходных нитратов путем совместного осаждения из нитратных р-ров (рН 9). Образующиеся тв. фазы исследовались рентгенографически. Результаты представлены в виде фазовой диаграммы. Показано образование 3 соединений:  $3\text{Fe}_2\text{O}_3 \cdot \text{PbO}$ , плавящегося инкогруэнтно при 1170° (гексагон.,  $a$  11,80,  $c$  23,15 Å),  $\text{Fe}_2\text{O}_3 \cdot 3\text{PbO}$ , плавящегося инконгруэнтно при 850° (тетрагон.,  $a$  3,91,  $c$  15,28 Å),  $\text{Fe}_2\text{O}_3 \cdot 8\text{PbO}$  (I), плавящегося инконгруэнтно при ~740° (тетрагон.,  $a$  10,83,  $c$  15,86 Å). Эвтектика между I и  $\text{PbO}$  лежит при 90—95 мол. %  $\text{PbO}$  и 690°.

А. Борина

X. 1966.13

Fe Pb Te<sub>x</sub>

1986

Абилов Ч. И., Рустамов П. Г., Агдамская С. Г.

Исследование взаимодействия в системе PbTe—  
FeTe<sub>2</sub>

Журн. неорган. химии. — 1986. — Т. 31, вып. 6. —  
С. 1516—1518.

Библиогр.: 5 назв.

— — 1. Свинец, теллуриды — Исследование в системах. 2. Же-  
лезо, теллуриды — Исследование в системах.

№ 86509  
14 № 6299

ВКП 1.08.86  
Изд-во «Книга»

УДК 546(819.24+682.24)

ЕСКЛ 18.5

$PbFe_2Te_4$

1989

24 Б3151. Физико-химические свойства сплавов системы  $PbTe-Fe_2Te_3$  / Агдамская С. Г., Абилов Ч. И., Алиджанов М. А. // Изв. АН СССР. Неорган. матер.—1989.—25, № 9.—С. 1564—1565.—Рус.

Методами ДТА, рентгенофазового, микроструктурного анализа, измерениями микротвердости и пикнометрической плотности изучены сплавы системы  $PbTe-Fe_2Te_3$ , построена диаграмма состояния квазибинарного разреза  $PbTe-Fe_2Te_3$ . При соотношении исходных компонентов 1 : 1 образуется новое тройное соединение  $\underline{PbFe_2Te_4}$  (т-ра конгруэнтного плавления 1145К). В системе обнаружены обл. тв. р-ров на основе  $PbTe$  и  $Fe_2Te_3$ . Т-рные зависимости электрофиз. параметров показали, что соединение  $PbFe_2Te_4$  является полупроводником с электронным типом проводимости. По резюме

X. 1989, № 24

*PbFe<sub>12</sub>O<sub>19</sub>*

*1990*

9 Б3040. Катионное распределение в структурах магнетоплумбита и  $\beta''$ -глинозема. Cation distribution in magnetoplumbite and  $\beta''$ -alumina structures / Xie Like, Cormack A. N. // Mater. Lett.— 1990.— 9, № 11.— С. 474—479.— Англ.

Рентгенографический анализ структур типа магнетоплумбита  $PbFe_{12}O_{19}$  и  $\beta''$ -глинозема положен в основу вычисления энергий предпочтения ионов  $M^{2+}$  ( $M=Mg, Co, Mn, Zn, Fe$ ) к неэквивалентным кристал-

лографич. позициям при замещении  $M + Al^{3+} \xrightarrow{E} M_{\text{реш.}} + Al^{3+}$ , где  $M_{\text{реш.}}$  — ион в решетке,  $E$  — энергия перехода. Энергия, приходящаяся на элементарную ячейку, минимизирована с использованием координат всех атомов по программе METAPOCS в обобщенном подходе Мотта — Литтлтона с учетом дефектности при гетерополярном замещении. ПТ парных взаимодействий учитывают кулоновскую составляющую и репульсионный вклад. В расчете учтены некулоновские взаи-

*X. 1991, № 9*

модействия и поляризация решетки. Ионы Co, Mn, Fe, Mg, Zn замещают ионы Al(3+) в тетраэдрич. позициях структуры  $\text{SrAl}_{12}\text{O}_{19}$  и ионы Al(2+) в тетраэдрич. позициях  $\beta''$ -глинозема. Ион Cr<sup>3+</sup> вследствие большой энергии предпочтения к октаэдрич. позициям замещает Al в этих позициях в обоих структурах. Ион Ni<sup>2+</sup> занимает тетра- и октаэдрич. позиции с некоторым предпочтением тетраэдрич. позиций, что хорошо согласуется с эксперим. данными по катионному распределению в  $\text{LaNiAl}_{11}\text{O}_{19}$ . Энергетич. анализ может служить теор. основой для поиска новых лазерных материалов на основе соединений типа магнетоплумбита и  $\beta''$ -глинозема.

Л. А. Резницкий

10  
хорс  
76 г

$Pb_5Fe_3F_{19}$

1991

Ravex J.,  
Andrianampianina V.;  
et al.

$T_{tz}$

J. Appl. Phys. 1991.

70, N3. C. 1331-1336.  
(crys.  $Pb_5Al_3F_{19}$ ; I)

$PbFe_{12}O_{19}$

1992

21 Б3023. Оценка энталпий образования соединений со структурой магнетоплумбита  $MFe_{12}O_{19}$  ( $M$ - $Pb$ ,  $Sr$ ,  $Ba$ ), а также ферритов бария /Резницкий Л. А. //Ж. физ. химии.—1992.—66, № 7.—С. 1931—1932.—Рус.

Энталпии образования ферритов со структурой магнетоплумбита  $MFe_{12}O_{19}$  ( $M$ - $Pb$ ,  $Sr$ ;  $Ba$ ), а также  $Ba_3Fe_2O_6$  и  $Ba_7Fe_4O_{13}$  вычислены приближенными методами с использованием энталпий изменения координации катионов при формировании соединений из простых оксидов.

( $\Delta H_f$ , оценка)

$SrFe_{12}O_{19}$ ,  $BaFe_{12}O_{19}$ ,  $\underbrace{Ba_3Fe_2O_6}$

т2



Х. 1992, № 21.

PbO - Fe<sub>2</sub>O<sub>3</sub>

1993

119: 257352h Study of the lead monoxide-ferric oxide system.  
Rivolier, J. L.; Ferriol, M.; Abraham, R.; Cohen-Adad, M. T. (Lab. Phys.-Chim. Miner. 2, Univ. Claude-Bernard Lyon-I, 69622 Villeurbanne, Fr.). *Eur. J. Solid State Inorg. Chem.* 1993, 30(7-8), 727-39 (Eng).  
The equil. phase diagram of the system PbO-Fe<sub>2</sub>O<sub>3</sub> under an oxygen pressure equal to 1 atm, is restudied using x-ray diffractometry, thermogravimetric and DTA. The stoichiometry of the intermediate phases: Pb<sub>2</sub>Fe<sub>2</sub>O<sub>5</sub> and PbFe<sub>12</sub>O<sub>19</sub> is confirmed while that of the 3rd phase involved, subject to controversy in the literature, would correspond to PbFe<sub>5</sub>O<sub>8.5</sub>. All the transition temps. are redetd. Also >1200°, equil. between solid, liq. and oxygen vapor are involved, leading to the study of a more complex system.

(x-ray group)

C.A. 1993, 119, N24

*PbFeO<sub>2</sub>F*

*1994*

) ЗБ2164. Синтез при высоких давлениях оксофторидов  $\text{PbFeO}_2\text{F}$ ,  $\text{BaFeO}_2\text{F}$  со структурой перовскита /Троянчук И. О., Каспер Н. В., Мантыцкая О. С., Шаповалова Е. Ф., Вирченко В. А., Карпей А. Л. //Неорганические материалы.—1994.—30, № 7.—С. 992—994.—Рус.

Методом твердофазного синтеза при высоких давлениях и температурах получены оксофториды  $\text{PbFeO}_2\text{F}$  и  $\text{BaFeO}_2\text{F}$ . Эти соединения имеют кубическую структуру перовскита и являются диэлектриками. Методом ЯГР установлено, что  $\text{PbFeO}_2\text{F}$  антиферомагнетик. Соединения  $\text{PbFeO}_2\text{F}$  и  $\text{BaFeO}_2\text{F}$  метастабильны при комнатной температуре; при нагревании на воздухе до 200—300° С они разлагаются.

*Синтез  
при высоких  
давлениях*

(+)⊗



*X. 1995, № 3*



1995

Elmarzouki A,

Prucis.  
et al.

Boylehri S. et al

J. Solid State Chem.

1995, 118, n1. C 1

202- 205 I  
(cell.  $PbCO_3(P_2O_7)_2$ )

1995

F: Fe<sub>3</sub>PbF<sub>24</sub>

P: 1

2Б264. Кристаллическая структура Pb[8]Fe{II}Fe[2]{III}F[24]: упорядоченное флюоритоподобное соединение. The crystal structure of Pb[8]Fe{II}Fe{III}F[24]: an ordered fluorite-like compound / Pierard A., De Kozak A., Gredin P. // Z. anorg. und allg. Chem. - 1995. - 621, N 6. - С. 1053-1057. - Англ.; рез. нем. Место хранения ГПГБ Соединение Pb[8]Fe{II}Fe[2]{III}F[24] получено в виде красно-коричн. монокристаллов путем отжига смеси 72,5PbF[2]+27,5FeF[3] в откаченной медной трубе при 540 °С в течение 6 дней. Решетка триклини., а 20,118, b 5,597, с 9,440 Å, 'альфа' 89,75, 'бета' 105,79, 'гамма' 89,38°, Z 2, R 0,048, R[w] 0,051, ф. гр. C1, 1641 независимое отражение. Решетка построена путем совмещения двух подрешеток вдоль оси а: флюоритоподобных слоев [Pb[8]F[10]][n]{6n+} и протяженных биметаллич. двойных цепей [Fe{II}Fe[2]{III}F[14]][n]{6n-}, связанных в углах октаэдров, расположенных вдоль оси b.. Кристаллическая структура.

X. 1996, N2

1996

*Fe<sub>7</sub>Pb<sub>7</sub>F<sub>34</sub>*

4 Б229. Кристаллическая структура  $\text{Pb}_7\text{Fe}^{\text{II}}\text{Fe}_6^{\text{III}}\text{F}_{34}$ : новое соединение типа джарлита. The crystal structure of  $\text{Pb}_7\text{Fe}^{\text{II}}\text{Fe}_6^{\text{III}}\text{F}_{34}$ : a new jarlite-type compound / Pierrard A., de Kozak A., Gredin P., Renaudin J. // Z. anorg. und allg. Chem. — 1996. — 622, № 7. — С. 1200—1204  
— Англ. ; рез. нем. . Место хранения ГПНТБ

В заваренной Си- или Pt-трубке из бинарных фторидов синтезированы красно-коричневые монокристаллы  $\text{Pb}_7\text{Fe}^{\text{II}}\text{Fe}_6^{\text{III}}\text{F}_{34}$ , M, 2487,3 (I) и выполнен их РСТА. Структура I моноклинная, ф. гр. C2/m; а 16,375, b 11,233, c 7,615 Å, β 102,67°; Z 2; ρ (выч.) 6,04; R 0,038 для 705 независимых отражений ( $F/\sigma(F) > 4$ ). Кристаллическая структура I построена из сочлененных вершинами октаэдров, которые образуют спиральные двойные цепи  $[\text{Fe}^{\text{II}}\text{Fe}_6^{\text{III}}\text{F}_{34}]_{n}^{14n-}$ , простирающиеся вдоль оси b и разделенные ионами Pb. В каждой двойной спирали 2 симметричных блока из трех сочлененных вершинами октаэдров  $[\text{Fe}^{\text{III}}\text{F}_{4/1}\text{F}_{2/2}]$  соединены вершинами с октаэдрами  $[\text{Fe}^{\text{II}}\text{F}_{4/2}\text{F}_{2/1}]$ . Октаэдры Fe (III) и Fe (II) немного искажены

*Кристалл-  
структура*

1997, № 4

( $\text{Fe}^{\text{III}}\text{---F}$  1,926 и  $\text{Fe}^{\text{II}}\text{---F}$  2,066 Å), указанные расстояния близки к сумме ионных радиусов. Атомы Pb обладают КЧ 10, 11 и 12 со средними расстояниями 2,268, 2,821, и 2,881 Å, соответственно. Соединение I принадлежит к типу минерала джарлита  $\text{Ba}_7\text{M}^{\text{II}}\text{M}^{\text{III}}\text{F}_{34}$ .

Ф. М. Спиридонов

Fe-Pb-S

1998

partial  
glasses

129: 127643z Fe-Pb-S (iron-lead-sulfur). Raghavan, V. (USA).  
*J. Phase Equilib.* 1998, 19(3), 274-275 (Eng), ASM International. A  
review with 2 refs. on the phase equil. in the title system.

CP1998, V29, #10



2000

F: Pb[Fe<sub>3</sub>(SO<sub>4</sub>)<sub>2</sub>(OH)<sub>6</sub>]<sub>2</sub> (термич. разложение)

P: 1

02.13-19Б3.57. Кинетика термического разложения  
плюмбоярозита. Kinetics of thermal decomposition of  
plumbo-jarosite / Ozacar M., Alp A., Aydin A. O. J.  
Therm. Anal. and Calorim. - 2000. - 59, N 3. - С. 869-  
875. - Англ.

Исследована кинетика термического разложения  
плюмбоярозита  $Pb[Fe[3](SO[4])[2](OH)[6]]_2$  при  
атмосферных условиях. Установлены кинетические модели  
диссоциации соединений в руде. Обсуждены результаты  
исследования кинетики и механизма процесса разложения.  
Найдено, что термическое разложение плюмбоярозита  
происходит в три стадии: первая стадия 763 К, вторая - до  
1023 К и третья - до 1223 К, а соответствующие значения  
энергии активации равны 62,2; 60,3 и 98,0 кДж\*моль<sup>-1</sup>,  
соответственно. Б 13.

Термич.

Разлож.